

تسريع روش SEMN برای تحليل آنتهای میکرواستریپ محدود

احمد توکلی
دانشیار

عظیم فرد
دانشجوی دکتری

دانشکده برق، دانشگاه صنعتی امیرکبیر

چکیده

روش SEMN (Surface Equivalence principle and Multiport Network) روشی با توانائی منحصر به فرد جهت تحلیل آنتهای میکرواستریپ با هر شکل و هر نوع دی الکترونیک از طریق محاسبه میدانهای الکترومغناطیسی مماسی سطوح مرزی است که از به هم آمیختن اصل تعادل سطحی (Surface Equivalence) و تئوری تحلیل شبکه‌های چند دهانه‌ای (Multiport Network Theory) بدست آمده است. اگر چه تنها تقریب به کار گرفته شده در این روش، قطعه‌بندی سطوح مرزی اجسام همگن تشکیل‌دهنده هندسه مساله با قطعات مستطیلی است، اما به علت کندی محاسبه تزویج متقابل تمامی قطعات مرزی با هم‌بگر تحلیل ساختارهای با ابعاد بزرگتر از طول موج از لحاظ مدت زمان انجام محاسبات غیر اقتصادی جلوه می‌کند. در این مقاله با هدف فراهم نمودن امکان ساختارهای بزرگ هندسی، به ویژه آنتهای آرایه محدود میکرواستریپ، فرمولیندیهای EFIE (Electric Field Integral Equation) و MFIE (Magnetic Field Integral Equation) SEMN (Magnetic Field Integral Equation) روش موشکافی شده و دو راه حل مناسب تسريع محاسبات ارائه شده است. بر اثر اعمال این روشها سرعت محاسبات لاقل پنجاه برابر گشته است.

كلمات کلیدی

آنتهای میکرواستریپ، آتن پچ میکرواستریپ، تابع گرین فضائی دیا دیک، آنتهای آرایه میکرواستریپ

Modification of the SEMN Method for Analysis of Finite Microstrip Antennas

Azim Fard
Ph.D. Student

A. Tavakoli
Associate Professor

Electrical Engineering Department,
Amirkabir University of Technology

Abstract

The Surface Equivalence principle and Multiport Network method (SEMN) has been previously developed for analysis of arbitrary shaped printed antennas. The SEMN method calculates boundaries tangential field components using the surface equivalence principle and multiport network theory. However, the computation time for analysis of multi-wavelength large microstrip antennas by the SEMN method, in spite of its generality, makes it impractical. Here, the electric field integral equation (EFIE) and magnetic field integral equation (MFIE) of SEMN method are modified and the two new techniques which speed up the calculation by fifty times the original SEMN approach is introduced. This enables us to analyze large structures and arrays. The modified SEMN method is then applied to

two microstrip patch antennas and the calculated results are compared with measurements and other methods. The analysis is in good agreement with other solutions.

Keywords

Microstrip antennas, Microstrip patch antenna, spatial domain dyadic Green's function, EFIE, MFIE, SEMN, Microstrip array antennas

مقدمه

آنтенهای میکرواستریپ به سبب سبکی، سادگی نسبی ساخت، تطابق پذیری بالا با محیط پیرامون خود، ارزانی نسبی و کارائی کافی از دیر باز مورد توجه مهندسان و بازار مصرف بوده است. به همین علت روش‌های متعددی برای تحلیل اینگونه آنтенها به کار گرفته شده است. در صورتیکه روش‌های تحلیل تمام موج ساختارهای میکرواستریپی به معنای دقیق خود، یعنی بدون در نظر گرفتن هیچگونه فرض ساده کنندگی، مانند صفحه زمین با ابعاد نامحدود، ضخامت کم زیرآیند، شرط مرزی دیواره مغناطیسی و ... در نظر بگیریم، دیده می‌شود که علی رغم مقالات متعدد حاوی تحلیل تمام موج برای ناحیه راه دور، تحلیل تمام موج حاوی نتایج میدان راه نزدیک فقط در یکی دو مقاله با استفاده از روش FDTD ارائه گردیده است [۱و۲]. حتی با استفاده از روش‌های تقریبی نظیر بسط مدلی (Modal Expansion) تنها در یک مقاله گزارش شده است [۳]. علاوه براین در هیچیک از مقالات فوق فرمولبندی کلی برای تحلیل محیط مركب دلخواه ارائه نشده است. همچین تعداد بسیار زیاد مجهولات و محاسبات، حتی برای ابعاد الکتریکی محدود، به عنوان مهمترین نقص این روشها ذکر گردیده است [۴]. روش SEMN در بر دارنده اطلاعات راه نزدیک و دور آنتن بدون محدودیت هندسی است که در رساله دکترای آقای دکتر توکل همدانی مفصلًا توضیح داده شده و بر روی چند منعکس کننده و آنتن با تغذیه مستقیم و مجاورتی (slot coupled) به شکل موفقیت‌آمیزی اعمال شده است [۵ و ۶]. در این مقاله نخست روش SEMN اجمالاً توضیح داده شده و سپس تکنیکهای به کار رفته جهت تسریع آن، بدون آنکه بر جامعیت روش لطمه‌ای وارد شود، توضیح داده می‌شود. کارائی و یکسان بودن نتایج تولید شده توسط روش‌های ذکر شده، با اعمال بر روی دو نمونه آنتن میکرواستریپ و مقایسه آن با روش اولیه به اثبات رسیده است.

۱- روش SEMN

روش SEMN مشتمل بر دو دسته عملیات تحلیل الکترومغناطیسی و تحلیل شبکه‌ای می‌باشد [۵]. در مرحله تحلیل الکترومغناطیسی، ماتریس‌های ادمیتانس و منبع میدان مغناطیسی یا ماتریس‌های امپدانس و منبع میدان الکتریکی قطعات، بسته به اینکه فرمولبندی MFIE یا EFIE به کار گرفته شده باشد، بدست می‌آید. در مرحله تحلیل شبکه‌ای با اعمال شرایط مرزی الکترومغناطیسی مماسی در سطوح مرزی و ترکیب ماتریس‌های مشخصه اجسام دی‌الکتریک مختلف، کلیه میدانهای الکترومغناطیسی مماسی دو سوی سطوح مرزی بدست می‌آید. این میدانهای مماسی در اقدام بعدی می‌توانند برای تعیین میدانهای الکترومغناطیسی راه دور و نزدیک درون و برون سطوح مرزی به کار روند. جزئیات روش به قرار زیر است: فضای کلی V را متشکل از تعدادی جسم دی‌الکتریک خطی، همسانگرد و همگن که هر کدام می‌توانند منابع جریان الکتریکی و مغناطیسی مستقل در درون سطح مرزی خود داشته باشند درنظر بگیرید، محاسبات EFIE و MFIE به ترتیب بر مبنای دو معادله انتگرالی زیر استوار خواهد بود:

$$\mathbf{n}(\bar{r}) \times \bar{\mathbf{E}}(\bar{r}) = \mathbf{n}(\bar{r}) \times \left[\iint_S \bar{\bar{\mathbf{G}}}^e(\bar{r}, \bar{r}') \cdot \bar{\mathbf{J}}_e(\bar{r}') + \bar{\bar{\mathbf{G}}}^e(\bar{r}, \bar{r}') \cdot \bar{\mathbf{M}}_e(\bar{r}') \right] ds' + \bar{\mathbf{E}}_S(\bar{r})$$

$$n(\vec{r}) \times \bar{H}(\vec{r}) = n(\vec{r}) \times \left[\oint_S \left[-\bar{\bar{G}}'_e(\vec{r}, \vec{r}') \cdot \bar{J}_e(\vec{r}') + \frac{\epsilon}{\mu} \bar{\bar{G}}_e(\vec{r}, \vec{r}') \cdot \bar{M}_e(\vec{r}') \right] ds' + \bar{H}_S(\vec{r}) \right] .ii$$

که در آن $\bar{\bar{G}}'_e(\vec{r}, \vec{r}')$ و $\bar{\bar{G}}_e(\vec{r}, \vec{r}')$ توابع گرین الکتریکی و مغناطیسی فضای دیادیکی، $\bar{E}_e(\vec{r})$ و $\bar{H}_e(\vec{r})$ میدان تحریک الکتریکی و مغناطیسی القاء شده توسط منابع جریان الکتریکی و مغناطیسی مستقل درونی، $n(\vec{r})$ بردار عمود بر سطح به سمت داخل، $\bar{J}_e(\vec{r})$ و $\bar{M}_e(\vec{r}) = -n(\vec{r}) \times \bar{E}(\vec{r})$ میدان جریان الکتریکی و مغناطیسی معادل سطحی بر روی سطح درونی S ، $\epsilon = \epsilon_0 \epsilon_r$ و $\mu = \mu_0 \mu_r$ پارامترهای ساختاری جسم همگن درون S و $\bar{H}(\vec{r})$ میدانهای الکتریکی و مغناطیسی نقاط \vec{a} واقع شده بر روی سطح داخلی مرز S هستند. هر کدام از معادلات انتگرالی ۱ و ۲ به تنهایی قادر به حل مسأله آتن بوده و حاوی تمام میدانهای الکترومغناطیسی مماسی می باشد. برای حل معادله های انتگرالی فوق باید سطوح مرزی که اعم از هادی یا دی الکتریک، به قطعات مستطیلی شکل با ابعاد کوچکتر از $0.03\lambda_0 \times 0.03\lambda_0$ که هر کدام دارای دستگاه مختصات محلی با محور z عمود بر قطعه می باشد، تقسیم شود. اگر N تعداد کل قطعات سطوح مرزی S باشد معادلات انتگرالی ۱ و ۲ به شکل ماتریسی زیر باز نویسی می شوند:

$$[E_t] = [G_e][H_t] + [G'_e][E_t] + [E_s] .iii$$

$$[H_t] = [G'_e][H_t] - \frac{\epsilon}{\mu} [G_e][E_t] + [H_s] .iv$$

معادلات خطی ۳ و ۴ برای هر دو طرف سطح مرزی S نوشته شده و پس از ترکیب شدن با همدیگر در نتیجه اعمال شرایط مرزی مماسی، میدانهای الکتریکی و مغناطیسی مماس بر سطح داخلی و خارجی مرز S را تولید خواهد نمود. اجزای معادلات ۳ و ۴ به ترتیب زیر هستند:

$$[E_t] = [[E_{tj}]]_{N \times 1} , [H_t] = [[H_{tj}]]_{N \times 1} , [E_s] = [[E_{sj}]]_{N \times 1} , [H_s] = [[H_{sj}]]_{N \times 1} .v$$

$$[G_e] = [[G_{eji}]]_{N \times N} , [G'_e] = [[G'_{eji}]]_{N \times N} .vi$$

$$[E_{tj}] = \begin{bmatrix} E_{xj}(o_j) \\ E_{yj}(o_j) \end{bmatrix} , [H_{tj}] = \begin{bmatrix} H_{xj}(o_j) \\ H_{yj}(o_j) \end{bmatrix} , [E_{sj}] = \begin{bmatrix} E_{sxj}(o_j) \\ E_{syj}(o_j) \end{bmatrix} , [H_{sj}] = \begin{bmatrix} H_{sxj}(o_j) \\ H_{syj}(o_j) \end{bmatrix} .vii$$

$$[G_e]_{im} = -j60\pi\mu_r(n_i \cdot z_i)[l_m] \{ \int_{S_i} [\bar{g}(R_x, R_y, R_z, \epsilon_r, \mu_r)] ds_i \} [s_i] .viii$$

$$[G'_e]_{im} = -0.5\sqrt{\mu_r \epsilon_r}(n_i \cdot z_i)[l_m] \{ \int_{S_i} [\bar{g}'(R_x, R_y, R_z, \epsilon_r, \mu_r)] ds_i \} [s_i] .ix$$

$$[E_s]_m = -j0.2\pi\mu_r f[l_m] \{ \int_{L_s} [\bar{g}(R_x, R_y, R_z, \epsilon_r, \mu_r)] dl_s \} [l_s] .x$$

$$[H_s]_m = -\frac{\sqrt{\mu_r \epsilon_r}}{600} f[l_m] \{ \int_{L_s} [\bar{g}'(R_x, R_y, R_z, \epsilon_r, \mu_r)] dl_s \} [l_s] .xi$$

که در آن:

$$[\bar{\bar{g}}(R_x, R_y, R_z, \epsilon_r, \mu_r)] = \left((1 - \frac{1}{kR}(j + \frac{1}{kR})) \begin{bmatrix} 1 & 0 & 0 \\ 0 & 1 & 0 \\ 0 & 0 & 1 \end{bmatrix} - \frac{1}{R^2} (1 - \frac{3}{kR}(j + \frac{1}{kR})) \begin{bmatrix} \bar{R}_x^2 & \bar{R}_x \bar{R}_y & \bar{R}_x \bar{R}_z \\ \bar{R}_y \bar{R}_x & \bar{R}_y^2 & \bar{R}_y \bar{R}_z \\ \bar{R}_z \bar{R}_x & \bar{R}_z \bar{R}_y & \bar{R}_z^2 \end{bmatrix} \right) \frac{e^{-jkR}}{R} .xii$$

$$[\bar{\bar{g}}'(R_x, R_y, R_z, \epsilon_r, \mu_r)] = \left((j + \frac{1}{kR}) \begin{bmatrix} 0 & -\bar{R}_z & \bar{R}_y \\ \bar{R}_z & 0 & -\bar{R}_x \\ -\bar{R}_y & \bar{R}_x & 0 \end{bmatrix} \right) \frac{e^{-jkR}}{R^2} .xiii$$

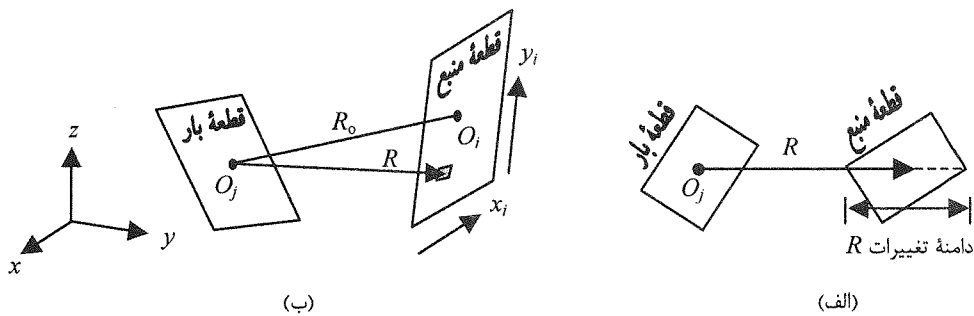
$$, k = 2\pi\sqrt{\mu_r \epsilon_r}, R = [R_x^2 + R_y^2 + R_z^2]^{1/2}, R_x = x_{o_m} - x_i, R_y = y_{o_m} - y_i, R_z = z_{o_m} - z_i, ds_i = dx_i dy_i .xiv$$

$$[s_i] = \begin{bmatrix} y_{ix} - x_{ix} \\ y_{iy} - x_{iy} \\ y_{iz} - x_{iz} \end{bmatrix}, [l_m] = \begin{bmatrix} x_{mx} & x_{my} & x_{mz} \\ y_{mx} & y_{my} & y_{mz} \end{bmatrix}, [l_s] = \begin{bmatrix} l_{sx} \\ l_{sy} \\ l_{sz} \end{bmatrix} .xv$$

در روابط فوق اندیسهای i و m به ترتیب مربوط به قطعات منبع و بار، s_i سطح قطعه نام، n_i بردار یکه عمود بر قطعه i am به سمت داخل، L_s پروب جریان الکتریکی، r فرکانس به مگاهرتز، اندیسهای مختصاتی x و y در رابطه ۷ مربوط به دستگاه مختصات محلی هر قطعه و اندیسهای x ، y و z در روابط ۸ تا ۱۵ مربوط به دستگاه مختصات عمومی است. در رابطه ۱۵ عناصر a_{pq} ماتریسهای $[s_i]$ و $[l_m]$ بیانگر تصویر بردار یکه a دستگاه مختصات محلی قطعه i am در راستای محور q از دستگاه مختصات عمومی و عناصر بردار $[l_s]$ تصویر بردار یکه p پروب جریان در راستای محورهای دستگاه مختصات عمومی است. تمام ابعاد هندسی استفاده شده در روابط فوق نسبت به طول موج فضای آزاد نرمایلیزه شده‌اند. تزویج خودی قطعات، زمانیکه در روابط ۸ و ۹، $i = m$ باشد، به صورت تحلیلی محاسبه شده است [۶ و ۷]. باستی توجه داشت که هر سطحی دارای دو سو بوده و خارج از هر سطح بسته، درون سطح یا سطوح اجسام همگن دیگر خواهد بود. در عین حال سطح داخلی و بیرونی خارجی‌ترین سطح در فاصله بینهایت قرار گرفته و نیازی به قطعه بندی نخواهد داشت. ویژگی مهم ماتریسهای مشخصه $[G_e]_{im}$ و $[G'_e]_{im}$ ناحیه درونی هر جسم دی‌الکتریک همگن، استقلال آن از مشخصات سایر اجسام دی‌الکتریکی شرکت کننده در تحلیل می‌باشد. به همین علت از آنها می‌توان برای تحلیل ساختارهای دیگری که در آن به کار گرفته خواهند شد استفاده کرد. از طرف دیگر در یک هندسه N قطعه‌ای محاسبه ماتریسهای تزویج $[G_e]_{im}$ و $[G'_e]_{im}$ به علت نیاز به محاسبه $(2N-9N)$ عدد انتگرال دوگانه عددی وقتی‌ترین بخش از محاسبات الکترومغناطیسی می‌باشد به گونه‌ای که بدون در نظر گیری تقارن ساختاری و قطعه بندی یکنواخت سطوح مرزی، تحلیل یک آنتن تک عنصره چندین روز به طول خواهد انجامید.

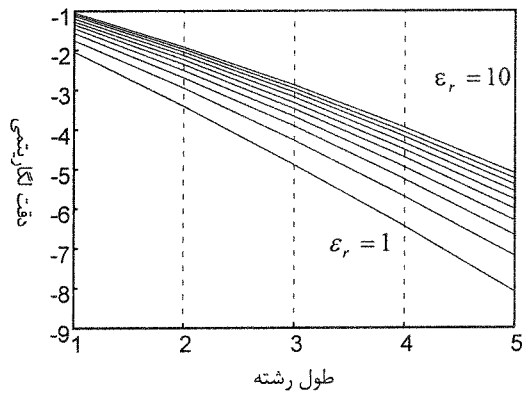
۲- تسریع روش SEMN

برای غلبه بر کندی محاسبات تزویج متقابل قطعات دو روش به شکل موفقیت‌آمیزی به کار بسته شده است. در روش اول تلاش شده است تا انتگرهای دوگانه روابط ۸ و ۹ به صورت غیر عددی برآورد شوند. پیچیدگی توابع گرین دیادیکی به اندازه‌ای است که انتگرهای دوگانه محدود در روابط ۸ و ۹ فاقد هر گونه پاسخ تحلیلی بسته هستند. بنابر این باید تقریب مناسبی اعمال شود. بزرگترین مانع جهت حل تحلیلی انتگرهای دوگانه حضور ضریب نمائی e^{-jkR} درتابع گرین است که خوشبختانه با به کارگیری تدبیر ویژه‌ای می‌توان آنرا با یک سری تیلور کوتاه جایگزین نمود. در شکل ۱ هندسه محاسبه تزویج متقابل عنصر نام و زام به تصویر کشیده شده است.



شکل (۱-الف) دامنة تغييرات R به هنگام انتگرال گيري و ب- هندسه محاسبه تزویج متقابل عنصر آم و زام.

همانگونه که در شکل ۱ نشان داده شده است تغييرات فاصله مرکز قطعه بار و نقطه انتگرال گيري روی قطعه منبع در بدترین حالت محدود به قطر قطعه منبع یعنی $0.03\sqrt{2\lambda_0}$ می باشد. بنابراین R را می توان به دو جزء ثابت R_0 و متغير $\Delta R = R - R_0$ تفکیک کرده و بخش ثابت را به صورت یک ضریب نمائی ساده e^{-jkR_0} از ضریب نمائی e^{-jkR} خارج کرد. مقدار ثابت R_0 برابر با نصف مجموع مقادیر حداقل R و حداقل R خواهد بود. حال ضریب نمائی باقیمانده را می توان توسط یک سری کوتاه با دقت مناسبی تقریب زد. تعداد جملات شرکت کننده در این سری بستگی به k (یا ϵ_r)، میزان تغييرات R و دقت نسبی مورد نظر دارد. در شکل ۲ طول رشته بر حسب لگاریتم دقت بسط و ضریب دی الکتریک ϵ_r برای بزرگترین قطعه مجاز نشان داده شده است.



شکل (۲) لگاریتم دقت بسط تیلور ضریب نمائی بر حسب طول رشته (رابطه ۱۵) در دی الکتریکهای مختلف.

بنابراین با توجه به شکل می توان از رشته ای به طول چهار با دقت خوبی برای دی الکتریکهای متعارف استفاده کرد. به عبارت دیگر:

$$e^{-jkR} = e^{-jkR_0} e^{-jk(R-R_0)} \approx e^{-jkR_0} \sum_{i=0}^4 \frac{k^i (R-R_0)^i}{i!} \quad .xvi$$

پس از جایگزینی رابطه ۱۶ در توابع گرین، ۱۵ عدد انتگرال دوگانه در روابط ۸ و ۹، و به همین تعداد انتگرال یک گانه در روابط ۱۰ و ۱۱ تولید می شود که تمامی انتگرالها به جز سه انتگرال یک گانه به صورت تحلیلی حل می شوند. با انتگرال گيري از توابع گرین تقریبی، دقت بسط ضریب نمائی مختلف نمی گردد. درنتیجه محاسبات وابسته به توابع گرین از دقت کافی برخوردار خواهد بود. مدت زمان محاسبه تزویج دو قطعه مستطیلی به کمک توابع گرین تقریب زده شده چند صد برابر بهتر از انتگرال گيري

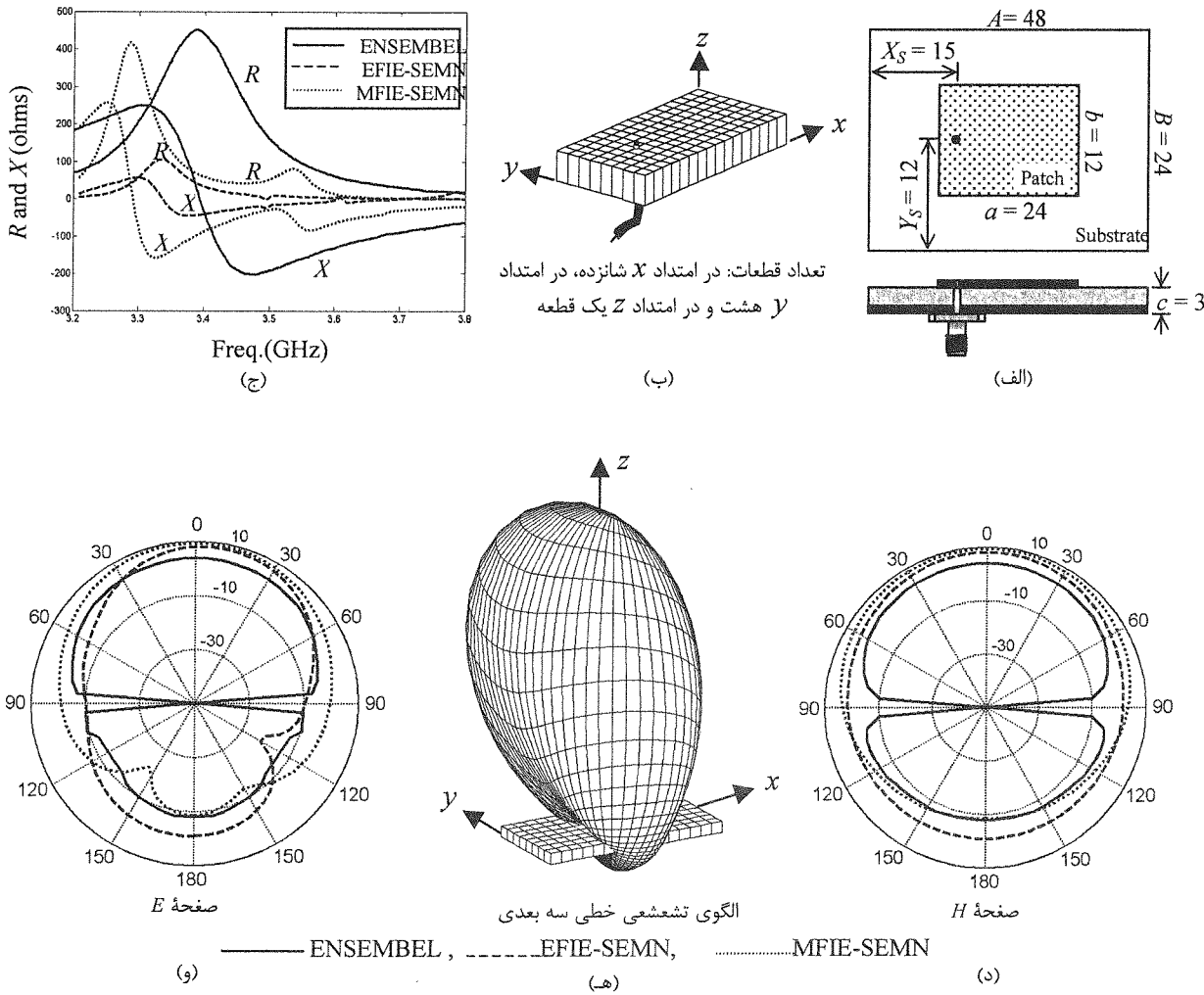
کاملاً عددی گشته است که خود نوید بخش افزایش شگرف سرعت محاسبات است.

روش دوم در پاسخ به این سوال که آیا می‌توان از انتگرال گیری صرف نظر کرد؟ شکل گرفته است. صرف نظر از انتگرال گیری به معنای عدم متوسط گیری تزویج بین نقطه میانی قطعه بار و تمام نقاط قطعه منبع و جایگزینی آن با مقدار تزویج بین مراکز دو قطعه می‌باشد. بدیهی است که در صورت تحقق، سرعت محاسبات بیشترین افزایش را خواهد داشت. اما این تقریب زمانی قابل اعمال خواهد بود که اختلاف تزویج مرکز قطعه بار و نقاط قطعه منبع در فاز و دامنه قابل اغماض باشد. اگرچه اختلاف فاز کمیات مختلف در سطح یک قطعه با محدود کردن ابعاد آن به 0.03λ قابل اغماض شده است اما از اختلاف دامنه آنها در فواصل نزدیک دو قطعه نمی‌توان چشم پوشی کرد. به همین منظور باید حداقل فاصله لازم جهت تجویز صرف نظر کردن از انتگرال گیری با تحلیل خطای حاصل از این نوع تقریب بدست آید. بزرگترین خطای نسبی عناصر ماتریس‌های 3×3 تحت انتگرال دوگانه روابط ۸ و ۹ تقریباً به ترتیب $p = 2$ و $p = 3$ می‌باشد که p نسبت دامنه تغییرات R به فاصله مراکز قطعات بار و منبع است. خطاهای نسبی برای بدترین حالت محاسبه شده و در عمل دقت این روش بالاتر از مقادیر بدینانه فوق خواهد بود و با پیشروی محاسبات دقت‌های فوق مختل نیز نمی‌گردد. عدم وابستگی مقادیر فوق به 4 و 6 از نکات جالب توجه نتایج فوق بوده و راه را برای تعیین این روش برای تمام دیگریکها می‌گشاید. نتایجی که در بند بعد ارائه خواهد شد ممکن استفاده از این روش در فواصل بیش از پنج قطعه بین قطعات بار و منبع است. این روش از این پس روش AIM (Adaptive Integration Method) نامیده می‌شود.

۳- نتایج عددی

در این بخش دو آتنن پچ میکرواستریپی توسط روش‌های فوق مورد آزمون قرار گرفته و نتایج بدست آمده با روش SEMN اولیه، نرم افزارهای تجاری و اندازه گیری مقایسه می‌شود. نخست آتنن پچ میکرواستریپی با ابعاد ذکر شده در شکل ۳ با سه روش SEMN اولیه، SEMN تسریع شده با روش اول و نرم افزار تجاری معروف ENSEMBEL (<http://www.ansoft.com>) مورد بررسی قرار می‌گیرد. امپدانس ورودی بدست آمده توسط SEMN اولیه و سریع کاملاً بر هم منطبق شده و تفکیک پذیر نیست. علاوه بر این نتایج فرمولبندی MFIE با نتایج نرم افزار ENSEMBEL به جز جابجایی کم فرکانس کار همخوانی خوبی نشان داده است. در اشکال (۵) و (۶) الگوهای تشعشعی لگاریتمی صفحات H و E با نتایج $\Delta R / R < 0.2$ مقایسه شده است. در این اشکال روش SEMN با توجه به اینکه ابعاد آتنن محدود است، پیشگوئی واقعیتی نسبت به آنچه که در عمل انتظار می‌رود ارائه کرده است. سرعت انجام محاسبات الکترومغناطیسی با روش SEMN سریع، بیش از پنجاه برابر شده است. مدت زمان لازم برای تحلیل آتنن در یک فرکانس برابر با سیزده دقیقه بر روی یک کامپیوتر PIII 600MHz می‌باشد.

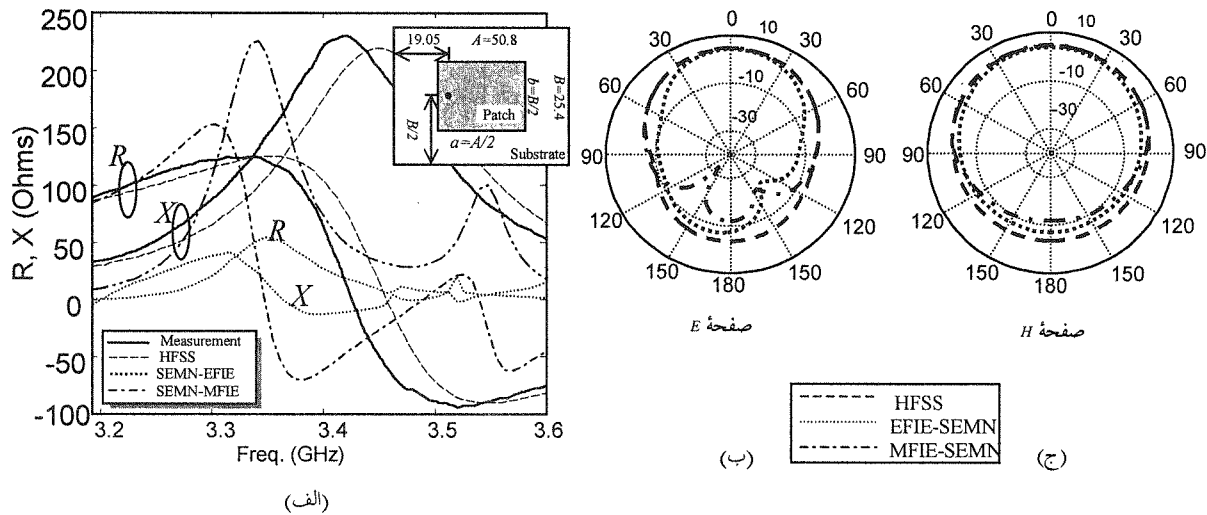
شکل ۴ امپدانس ورودی یک پچ میکرواستریپی که ابعاد آن در گوشش شکل نشان داده شده است توسط روش‌های مختلف به نمایش گذاشده شده است. در این آتنن $2.5 = \epsilon_r = 6$ بوده و ضخامت زمینه دی الکتریکی $3, 175$ میلی متر است. قطعه بندی این آتنن مانند مثال قبل بوده و مانند مثال قبل در این حالت نیز نتایج بدست آمده به کمک توابع گرین تقریب زده شده کاملاً منطبق بر نتایج بدست آمده از روش SEMN اولیه می‌باشد. امپدانس ورودی ناشی از اعمال روش تسریع AIM به تنهایی برای $\Delta R / R < 0.2$ کاملاً منطبق بر نتایج قبلی می‌گردد. از مقایسه نتایج HFSS (<http://www.ansoft.com>)، SEMN و اندازه گیری به نظر می‌رسد که تولیدات روش SEMN-MFIE نسبت به روش SEMN-EFIE به نتایج HFSS و اندازه گیری نزدیکتر است، به جز اندکی لغزش فرکانسی. مدت زمان صرف شده توسط نرم افزار HFSS در هر فرکانس بر روی یک کامپیوترا PIII 600MHz بین ۸ تا ۱۰ ثانیه می‌باشد. الگوهای تشعشعی صفحات E و H در فرکانس تشدید روش SEMN-MFIE ترسیم شده‌اند. به همراه نتایج صفحات E و H روش HFSS تولیدات نرم افزار تجاری HFSS نیز برای مقایسه ارائه شده‌اند. اعمال همزمان دو روش تسریع ارائه شده در این مقاله موجب افزایش ۹ درصدی سرعت محاسبات نسبت به مدت زمان انجام محاسبات با استفاده از تابع گرین تقریب زده شده (روش اول) است بدون آنکه خطای اضافه‌ای در دقت محاسبات نسبت به حالت استفاده از روش تسریع اول رخ دهد.



شکل (۳ - الف) آنتن پچ میکرواستریپی، ب - قطعه بندی آنتن، ج - امپدانس ورودی، د - پترن تشعشعی صفحه H
 ۵ - پترن تشعشعی خطی سه بعدی و ۶ - پترن تشعشعی صفحه E . ابعاد بر حسب میلیمتر بوده و $\lambda_0/2 = 3$ است.

۴- نتیجه گیری

در این مقاله دو روش عمومی برای تسریع روش SEMN اولیه پیشنهاد گشته و با موفقیت بر روی دو نمونه آنتن پچ میکرواستریپ به کار بسته شد. افزایش سرعت حداقل پنجاه برابر انجام محاسبات الکترومغناطیسی به کمک این روشها مختص آنتنهای پچ میکرواستریپی نبوده و به هیچ وجه بر کلیت روش SEMN لطمه‌ای وارد نکرده است و از همان فرضیات و تقریبهای اولیه این روش استفاده می‌کند. نتایج تصویر شده کاملاً منطبق بر نتایج SEMN اولیه بوده و با نتایج اندازه گیری و نرم افزارهای تجاری معروف HFSS و ENSEMBEL همخوانی خوبی نشان داده است. از طرف دیگر به علت افزایش فوق العاده سرعت محاسبات توسط این روشها، امکان تحلیل آنتنهای آرایه‌ای فراهم گردیده است.



شکل (۴-الف) امپدانس ورودی و ابعاد آنتن پچ میکرواستریپی، ب- پترن تشعشعی صفحه E
ج- پترن تشعشعی صفحه H . ابعاد بر حسب میلیمتر بوده و $\epsilon_r = 2.5$ است.

مراجع

- [1] E. A. Navarro, N. T. Sangary, C. Wu and J. Litva "Analysis of a coupled patch antenna with application in personal communications," IEE Proc. Microw. Antennas Propag., Vol. 142, Dec. 1995, pp. 495-497.
- [2] B.S. Yildirim and El-B. El-Sharawy, "FDTD analysis of a shorted and truncated microstrip antennas for mobile communication systems," in Dig. IEEE AP-S Int. Symp., Montreal, July 1997 pp. 1856-1859.
- [3] A.K. Bhattacharyya, "Effects of ground plane truncation on the impedance of a patch antenna," IEE proceeding-H, Vol. 138, pp. 560-564, Dec. 1991.
- [4] E. Arvas, A. Rahhal-Arabi, A. Sadigh and S. M. Rao, "Scattering from multiple conducting and dielectric bodies of arbitrary shape," IEEE Antennas and Propagation Magazine, Vol. 33, pp. 29-36, Apr. 1991.
- [5] F.Tavakkol-Hamedani, A.Tavakoli, L.Shafai, "Analysis of finite-microstrip structures using surface equivalence principle and multiple network theory (SEMNT)," IEEE Antennas and Propagation Magazine, Vol. 50, pp. 1128-1137, Aug. 2002.
- [6] فرزاد توکل همدانی، "تحلیل آنتنهای چندلایه میکرواستریپ محدود با استفاده از اصل هم ارزی سطحی و نظریه شبکه چندتائی پایان نامه دوره دکتری (Ph.D.)، دانشگاه صنعتی امیرکبیر، اسفند ۱۳۷۸"
- [7] F.T. Hamedani and A. Tavakoli, "Computation of self-coupling matrices in analysis of complex structures by surface equivalence principle and multiple network theory (SEMNT)," in Dig. IEEE AP-S Int. Symp., Atlanta, June 1998, pp. 1914-1917.